

结构图

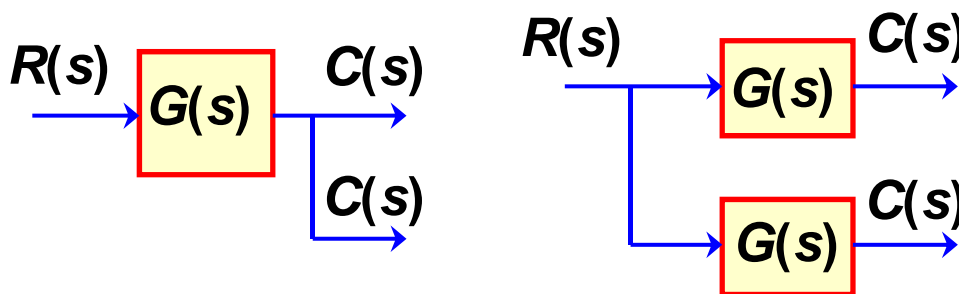
- 比较点和引出点的移动:

等效原则: 前向通道和反馈通道传递函数都不变。

- 引出点移动:

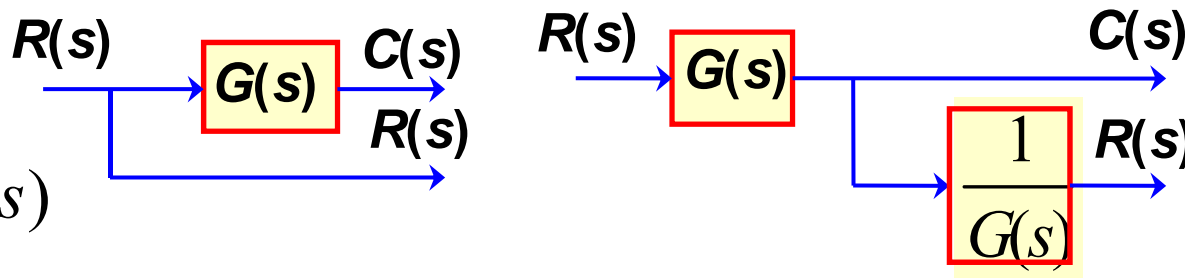
1. 引出点前移

$$C(s) = G(s)R(s)$$



2. 引出点后移

$$R(s) = \frac{1}{G(s)} G(s) R(s)$$

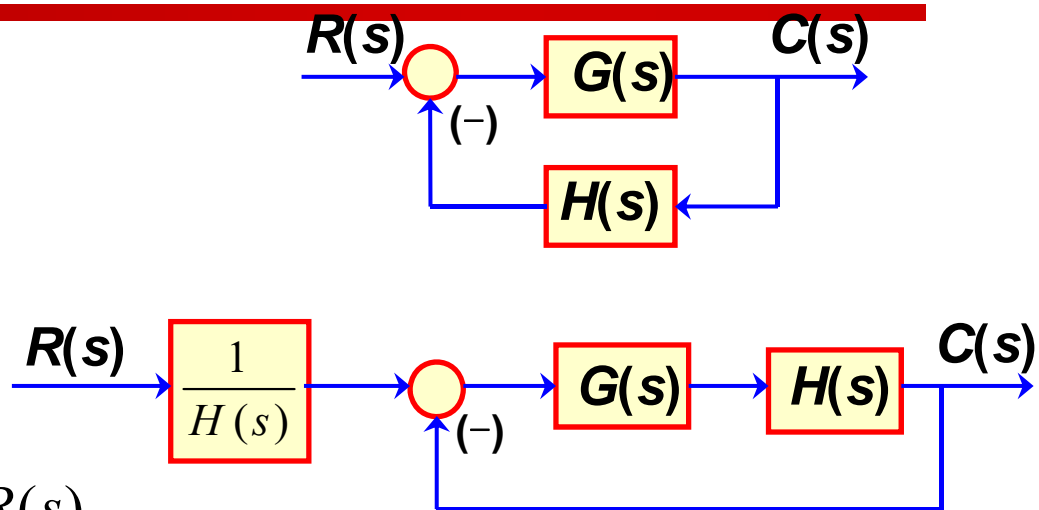


结构图

• 其它等价法则

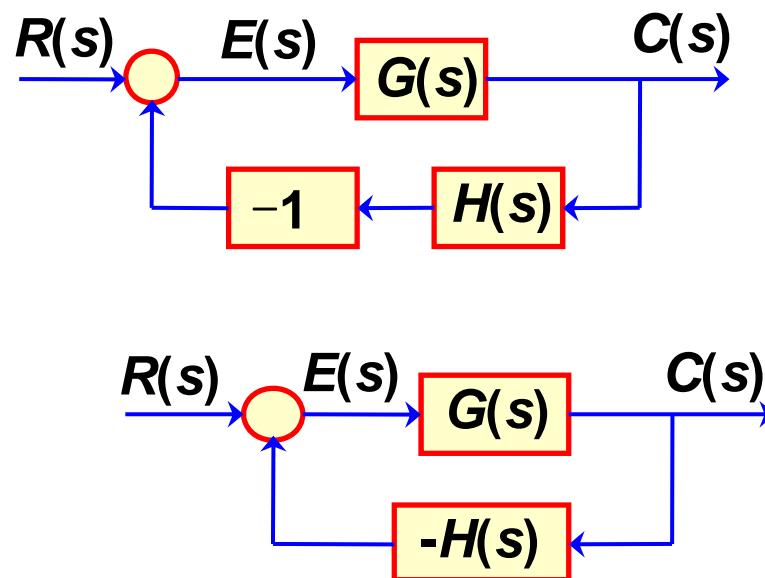
1. 等效为单位反馈系统

$$C(s) = \frac{G(s)H(s)}{1 + G(s)H(s)} \cdot \frac{1}{H(s)} R(s)$$

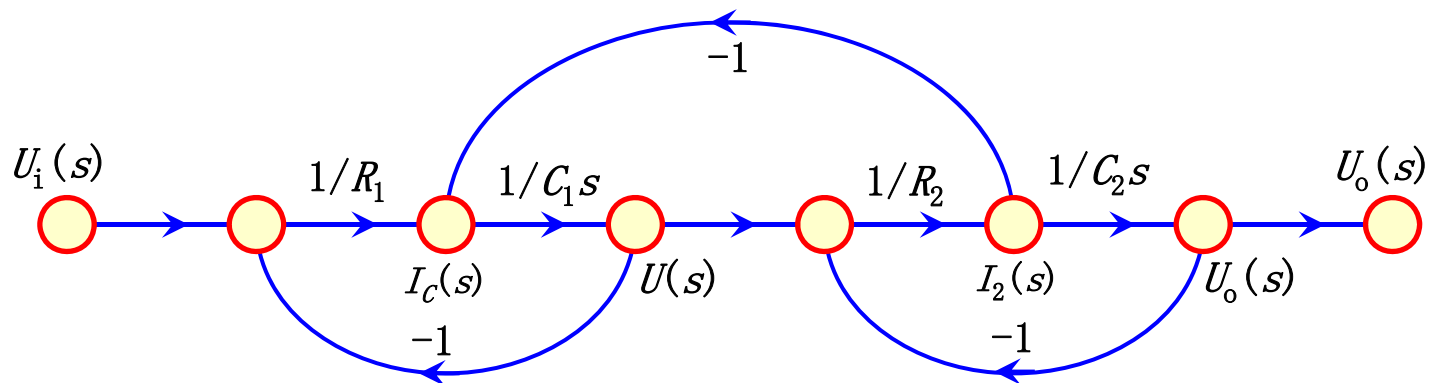
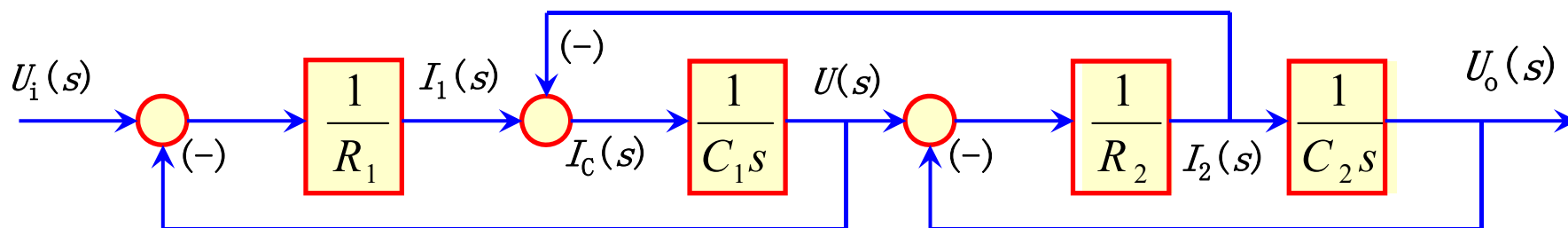


2. 负号可在支路上移动

$$\begin{aligned} E(s) &= R(s) - H(s)C(s) \\ &= R(s) + (-1)H(s)C(s) \\ &= R(s) + [-H(s)]C(s) \end{aligned}$$



绘制结构图对应的信号流图



信号流图

二、梅逊公式

任一结构图中，某个输入对某个输出的传递函数为

$$P = \frac{\sum_1^n P_k \Delta_k}{\Delta}$$

式中：n 为前向通路的条数

P_k 为第k条前向通路增益

Δ 为系统特征式（闭环传递函数特征方程）

$\Delta = 1 - (\text{所有单独回路增益之和}) + (\text{所有每两个互不接触回路增益乘积之和}) - (\text{所有三个互不接触回路增益乘积之和}) + \dots$

$$= 1 - \sum L_a + \sum L_b L_c - \sum L_d L_e L_f + \dots$$

Δ_k 为第k条前向通路特征式的余子式，即将第k条前向通路去掉，对余下的图再算一次 Δ 。

图3-2中指数响应曲线的初始 ($t=0$ 时) 斜率为 $\frac{1}{T}$

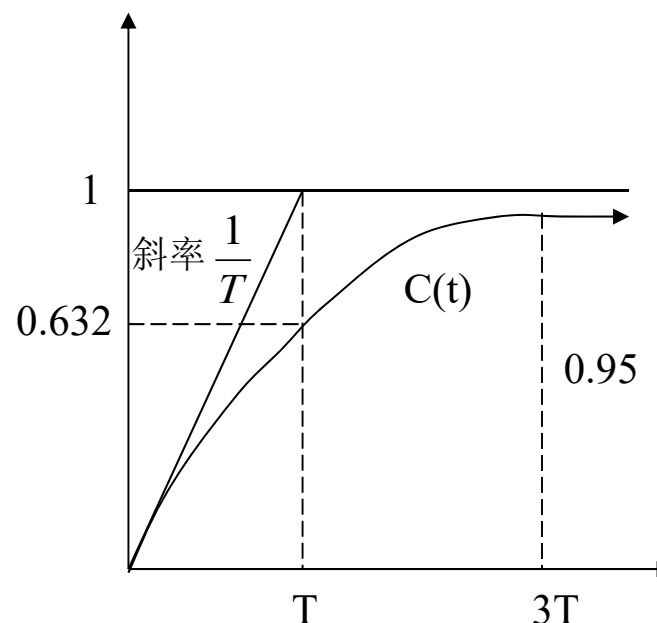


图3-2 一阶系统的单位阶跃响应

由式 (3-2) 可知, 只有当 t 趋于无穷大时, 响应的瞬态过程才能结束, 在实际应用中, 常以输出量达到稳态值的 **95%** 或 **98%** 的时间作为系统的响应时间 (即调节时间), 这时输出量与稳态值之间的偏差为 **5%** 或 **2%**。

$$\Phi(s) = \frac{C(s)}{R(s)} = \frac{\omega_n^2}{s^2 + 2\zeta\omega_n s + \omega_n^2}$$

对应的响应曲线如图3-14所示下面就根据式 (3-18) 和图3-14所示曲线来定义系统的瞬态性能指标, 同时讨论性能指标与特征量之间的关系。

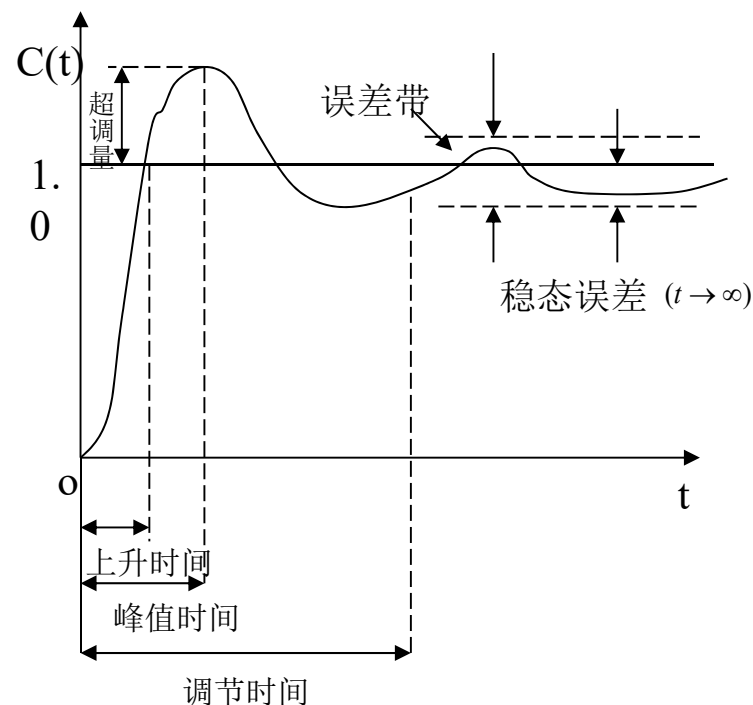


图3-14 二阶系统瞬态性能指标

$$C(t) = 1 - \frac{e^{-\zeta\omega_n t}}{\sqrt{1-\zeta^2}} \sin(\omega_d t + \theta) \quad t \geq 0 \quad (3-14)$$

例3-1 设控制系统 如图3-16所示。其中 **(a)** 为无速度反馈系统, **(b)** 为带速度反馈系统, 试确定是系统阻尼比为**0.5**时 K_t 的值, 并比较系统 **(a)** 和**(b)**阶跃响应的瞬态性能指标。

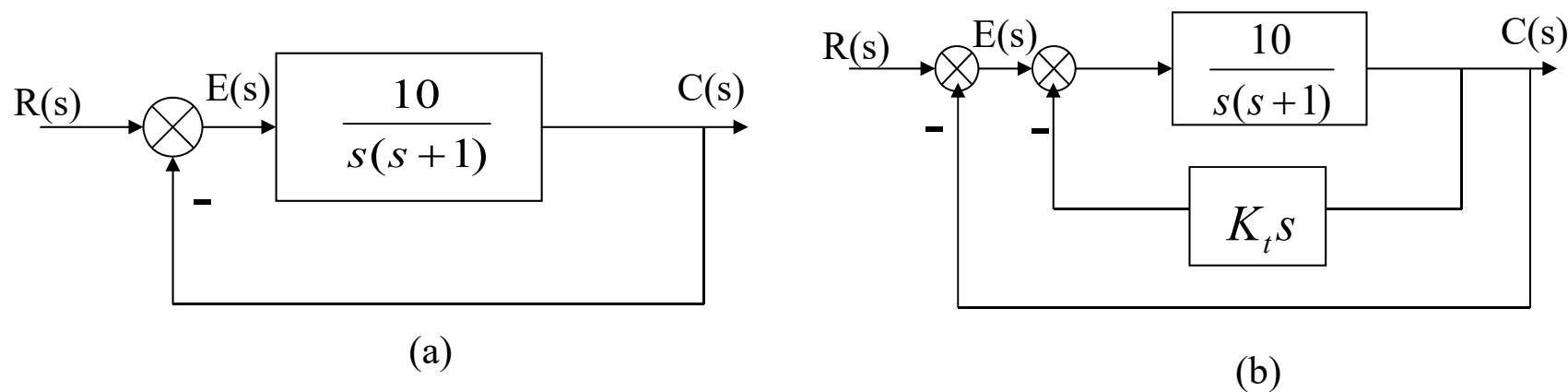


图3-16 例一系统结构图

解 系统 (a) 的闭环传递函数为 $\Phi(s) = \frac{10}{s^2 + s + 10}$

将上式与式 (3-6) 相比较得 $2\zeta\omega_n = 1$ $\omega_n^2 = 10$

解得 $\zeta = 0.158$ $\omega_n = 3.16$

根据式 (3-19)、(3-20)、(3-21)、(3-24)、
(3-25) 计算上升时间

$$t_r = \frac{\pi - \arccos \zeta}{\omega_n \sqrt{1 - \zeta^2}} = 0.55 \text{ (秒)}$$

峰值时间 $t_p = \frac{\pi}{\omega_n \sqrt{1-\zeta^2}} = 1.01 \quad (\text{秒})$

超调量 $\sigma_p = e^{-\frac{\pi\zeta}{\sqrt{1-\zeta^2}}} \times 100\% = 60.4\%$

调节时间 $t_s = \frac{3}{\zeta\omega_n} = 6 \quad (\text{秒}) \quad (\Delta = 0.05)$

振荡次数 $N = \frac{1.5\sqrt{1-\zeta^2}}{\pi\zeta} \approx 3 \quad (\text{次}) \quad (\Delta = 0.05)$

系统 **(b)** 的闭环传递函数为

$$\Phi(s) = \frac{10}{s^2 + (1 + 10K_t)s + 10}$$

$$a_n s^n + a_{n-1} s^{n-1} + \dots + a_1 s + a_0 = 0 \quad (a_0 > 0)$$

➤ 将方程各项**系数**组成**劳斯表**

s^n	a_n	a_{n-2}	a_{n-4}	a_{n-6}
s^{n-1}	a_{n-1}	a_{n-3}	a_{n-5}	a_{n-7}
s^{n-2}	b_1	b_2	b_3	b_4
s^{n-3}	c_1	c_2	c_3	c_4
s^{n-4}	d_1	d_2	d_3	d_4
\vdots					
s^2	e_1	e_2			
s^1	f_1				
s^0	g_1				

➤ 计算劳斯表的各系数

$$b_1 = \frac{a_{n-1}a_{n-2} - a_n a_{n-3}}{a_{n-1}}$$

$$b_2 = \frac{a_{n-1}a_{n-4} - a_n a_{n-5}}{a_{n-1}}$$

$$b_3 = \frac{a_{n-1}a_{n-6} - a_n a_{n-7}}{a_{n-1}}$$

.....

$$b_i$$

系数的计算一直进行到其余的b值**全部等于零**为止。

s^n	a_n	a_{n-2}	a_{n-4}	a_{n-6}
s^{n-1}	a_{n-1}	a_{n-3}	a_{n-5}	a_{n-7}
s^{n-2}	b_1	b_2	b_3	b_4
s^{n-3}	c_1	c_2	c_3	c_4
s^{n-4}	d_1	d_2	d_3	d_4
\vdots					
s^2	e_1	e_2			
s^1	f_1				
s^0	g_1				

用同样的前两行系数交叉相乘的方法，可以计算c，d，...e，f，g各行的系数。

$$c_1 = \frac{b_1 a_{n-3} - a_{n-1} b_2}{b_1}$$

$$c_2 = \frac{b_1 a_{n-5} - a_{n-1} b_3}{b_1}$$

$$c_3 = \frac{b_1 a_{n-7} - a_{n-1} b_4}{b_1}$$

... ..

$$d_1 = \frac{c_1 b_2 - b_1 c_2}{c_1}$$

$$d_2 = \frac{c_1 b_3 - b_1 c_3}{c_1}$$

... ..

这个计算过程一直进行到n+1行为止。为了简化运算，可以用一个**正整数**去乘或除其一项的各项，这将**不改变**稳定性的结论。

(2) 劳斯表某行的第一列系数等于零，而其余各项不全为零的情况

当劳斯表**某一行**的**第一列系数为零**，而**其余项不全为零**，可用一个很小的正数 ε 代替第一列的零项，然后按照通常方法计算劳斯表中的其余项。

(3) 劳斯表某行所有系数均为零的情况

如果劳斯表中**某一行**（如第K行）**各项为零**，这说明在S平面内**存在以原点为对称的特征根**。

综上所述，应用劳斯表判据分析系统的稳定性时，一般可以按如下顺序进行：

1、确定系统**是否满足稳定的必要条件**。当特征方程的系数不满足 $a_i > 0 (i=0,1,2,\dots,n)$ 时，系统是不稳定的。

2、**当**特征方程的系数**满足** $a_i > 0 (i=0,1,2,\dots,n)$ **时**，计算劳斯表。当劳斯表的**第一列系数都大于零时**，系统是**稳定**的。如果第一**列出现小于零的系数**，则系统是**不稳定**的。

3、若计算劳斯表时出现情况（2）和（3），此时为确定系数极点的分布情况，可按情况（2）和（3）的方法处理。

运用劳斯判据，不仅可以判定系统是否稳定，还可以用来分析系统参数的变化对稳定性产生的影响，从而给出使系统稳定的参数范围。

在各种典型输入信号作用下，不同类型系统的给定稳态误差如表3-1所示。

系统类别	静态误差系数			阶跃输入 $r(t)=R \cdot I(t)$	斜坡输入 $r(t)=R t$	加速度输入 $r(t)=\frac{Rt^2}{2}$
γ	K_p	K_γ	K_a	$e_{ss} = \frac{R}{1 + K_p}$	$e_{ss} = \frac{R}{K_\gamma}$	$e_{ss} = \frac{R}{K_a}$
0	K	0	0	$\frac{R}{1 + K}$	∞	∞
I	∞	K	0	0	$\frac{R}{K}$	∞
II	∞	∞	K	0	0	$\frac{R}{K}$
	∞	∞	∞	0	0	0

表3-1 输入信号作用下的稳态误差

二、输入作用下的稳态误差

在图3-22所示系统中，如果不计扰动输入的影响，可以求得系统的给定稳态误差。此时，系统的结构图可简化为图3-23。

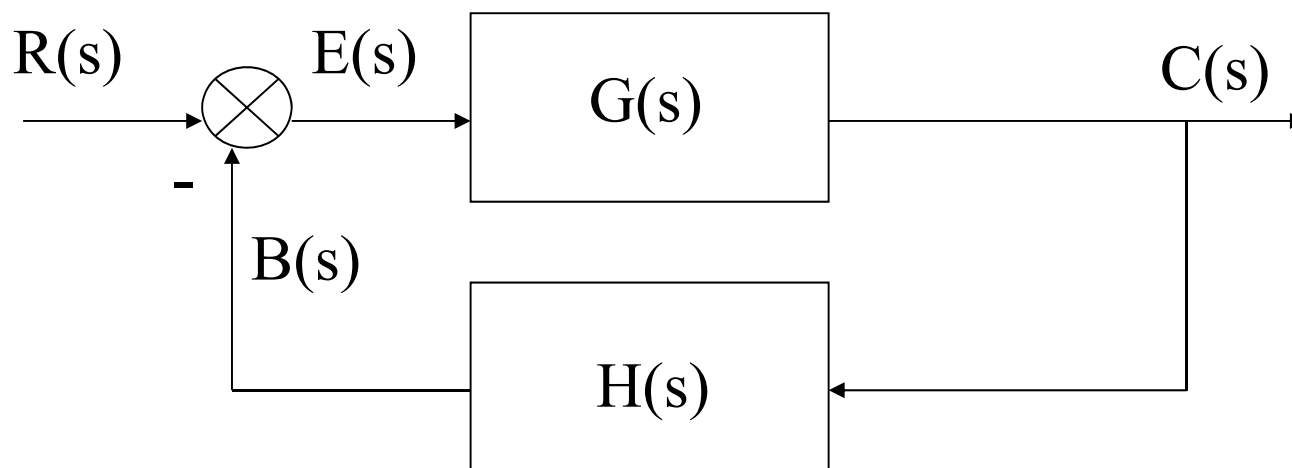


图3-23 给定输入作用下系统结构图

由图3-23可知

$$C(s) = \frac{G(s)}{1 + G(s)H(s)} \cdot R(s)$$

由误差的定义可知

$$\begin{aligned} E(s) &= R(s) - B(s) = R(s) - H(s)C(s) \\ &= \frac{1}{1 + G(s)H(s)} \cdot R(s) = \Phi_{er}(s)R(s) \end{aligned}$$

式中

$$\Phi_{er}(s) = \frac{1}{1 + G(s)H(s)}$$

称为给定输入作用下系统的**误差传递函数**。

应用拉氏变换的终值定理可以方便地求出系统的稳态误差。

$$e_{ss} = \lim_{t \rightarrow \infty} e(t) = \lim_{s \rightarrow 0} sE(s) = \lim_{s \rightarrow 0} \frac{sR(s)}{1 + G(s)H(s)} \quad (3-33)$$

式 **(3-33)** 是确定给定稳态误差的一个基本公式。它表明，在给定输入作用下，系统的稳态误差与系统的结构、参数和输入信号的形式有关，对于一个给定的系统，当给定输入的形式确定后，系统的**稳态误差**将**取决于以开环传递函数描述的系统结构**。

下面根据线性系统的叠加原理，以图3-25所示系统来讨论由扰动输入所产生的稳态误差。按照前面给出的误差信号的定义可得扰动输入引起的误差为

$$E(s) = R(s) - B(s) = -H(s)C(s)$$

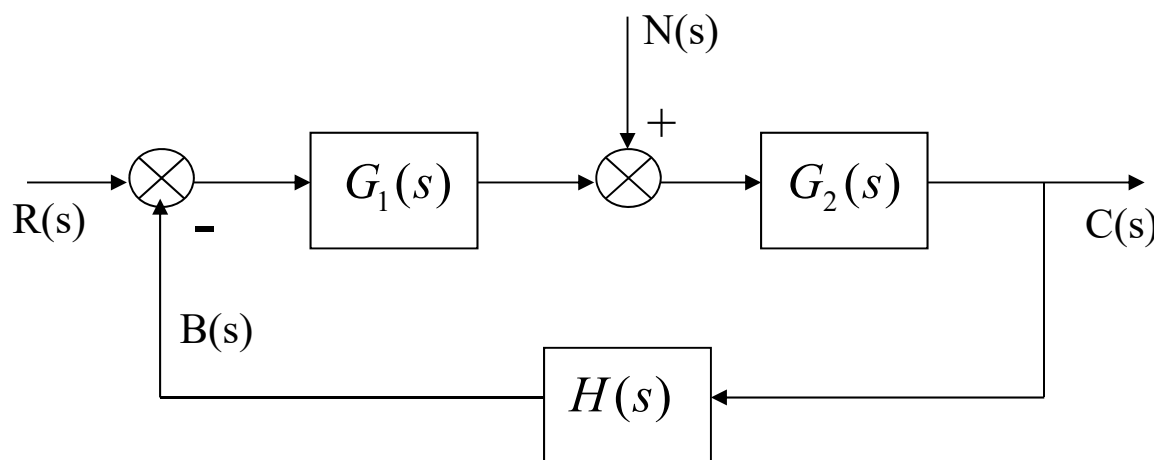


图3-25 扰动输入作用下系统结构图

而此时系统的输出为

$$C(s) = \frac{G_2(s)}{1 + G_1(s)G_2(s)H(s)} \cdot N(s)$$

所以

$$E(s) = -\frac{G_2(s)H(s)}{1 + G_1(s)G_2(s)H(s)} \cdot N(s) = \Phi_{en}(s) \cdot N(s)$$

式中

$$\Phi_{en}(s) = -\frac{G_2(s)H(s)}{1 + G_1(s)G_2(s)H(s)}$$

称为扰动输入作用下系统的误差传递函数。

此时，系统的稳态误差为

$$e_{ss} = \lim_{s \rightarrow 0} e(t) = \lim_{s \rightarrow 0} -\frac{sG_2(s)H(s)}{1 + G_1(s)G_2(s)H(s)} \cdot N(s)$$

例 3-10 设控制系统如图3-26所示，其中 $G_1(s) = \frac{K_1}{1 + T_1 s}$ ， $G_2(s) = \frac{K_2}{s(1 + T_2 s)}$ ，给定输入 $r(t) = R_r(s) \cdot 1(t)$ ，扰动输入 $n(t) = R_n(t) \cdot 1(t)$ （ R_r 和 R_n 均为常数），试求系统的稳态误差。

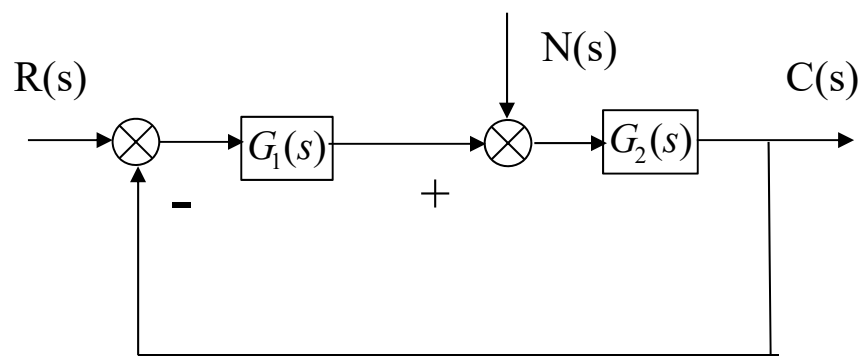


图3-26 例3-10系统结构图

解： 当系统同时受到给定输入和扰动输入的作用时，其稳定误差为给定稳态误差和扰动稳态误差的叠加。

令 $n(t)=0$ 时，求得给定输入作用下的误差传递函数为

$$\Phi_{er}(s) = \frac{1}{1 + G_1(s)G_2(s)}$$

所以给定误差为

$$\begin{aligned} e_{ssr} &= \lim_{s \rightarrow 0} \frac{s \cdot R(s)}{1 + G_1(s)G_2(s)} \\ &= \lim_{s \rightarrow 0} \frac{s^2(1 + T_1s)(1 + T_2s)}{s(1 + T_1s)(1 + T_2s) + K_1K_2} \cdot \frac{R_r}{s} \\ &= 0 \end{aligned}$$

令 $r(t)=0$ 时，求得扰动输入作用下的误差传递函数为

$$\Phi_{en}(s) = -\frac{G_2(s)}{1 + G(s)G_2(s)}$$

所以扰动稳态误差为

$$e_{ssn} = \lim_{s \rightarrow 0} -\frac{sG_2(s) \cdot N(s)}{1 + G_1(s)G_2(s)} = \lim_{s \rightarrow 0} -\frac{s \cdot K_2(1 + T_1s)}{s(1 + T_1s)(1 + T_2s) + K_1K_2} \cdot \frac{R_n}{s} = -\frac{R_n}{K_1}$$

由上式计算可以看出， $r(t)$ 和 $n(t)$ 同是阶跃信号，由于在系统中的作用点不同，故它们产生的稳态误差也不相同。此外，由扰动稳态误差的表达式可见，提高系统前向通道中扰动信号作用点之前的环节的放大系数（即 K_1 ），可以减小系统的扰动稳态误差。

该系统总的稳态误差为

$$e_{ss} = e_{ssr} + e_{ssn} = -\frac{R_n}{K_1}$$

为了分析系统中串联的积分环节对稳态误差的影响，我们假设

图3-26中

$$G_1(s) = \frac{K_1}{s(1 + T_1s)} \quad G_2(s) = \frac{K_2}{1 + T_2s}$$

给定输入和扰动输入保持不变。这时，系统的稳态误差可按上述相同的方法求出，即

$$e_{ssr} = \lim_{s \rightarrow 0} \frac{sR(s)}{1 + G_1(s)G_2(s)} = 0$$

$$\begin{aligned} e_{ssn} &= \lim_{s \rightarrow 0} - \frac{s G_2(s)}{1 + G_1(s) G_2(s)} \cdot N(s) \\ &= \lim_{s \rightarrow 0} - \frac{s^2 K_1 (1 + T_2 s)}{s(1 + T_1 s)(1 + T_2 s) + K_1 K_2} \cdot \frac{R_n}{s} = 0 \end{aligned}$$

系统的总误差为

$$e_{ss} = e_{ssr} + e_{ssn} = 0$$

比较以上两次计算的结果可以看出，若要消除系统的给定稳态误差，则系统前向通道中串联的积分环节都起作用。若要消除系统的扰动稳态误差，则在系统前向通道中只有扰动输入作用点之前的积分环节才起作用。因此，若要消除由给定输入和扰动输入同时作用于系统所产生的稳态误差，则串联的积分环节应集中在前向通道中扰动输入作用点之前。

对于非单位反馈系统，当 $H(s)$ 为常数时，以上分析的有关结论同样适用。前面定义了相对于给定输入的无差度，同样也可以定义**相对于扰动输入的无差度**。当系统的 $G_1(s)$ 中含有 γ_1 个串联的积分环节时称系统相对于扰动输入是 γ_1 阶无差系统，而 γ_1 称为系统相对于扰动输入的**无差度**。

对本例中的前一种情况，系统对扰动输入的无差度为0，而后一种情况，系统对扰动的无差度是1。显然，当谈及一个系统的无差度时应指明系统对哪一种输入作用而言，否则，可能会得出错误的结论。

在图3-27所示系统中，为了消除由 $r(t)$ 引起的稳态误差，可在原反馈控制的基础上，从给定输入处引出前馈量经补偿装置 $G_c(s)$ ，对系统进行开环控制。此时系统误差信号的拉氏变换式为

$$E(s) = R(s) - G_2(s)[G_1(s)E(s) + G_c(s)R(s)]$$

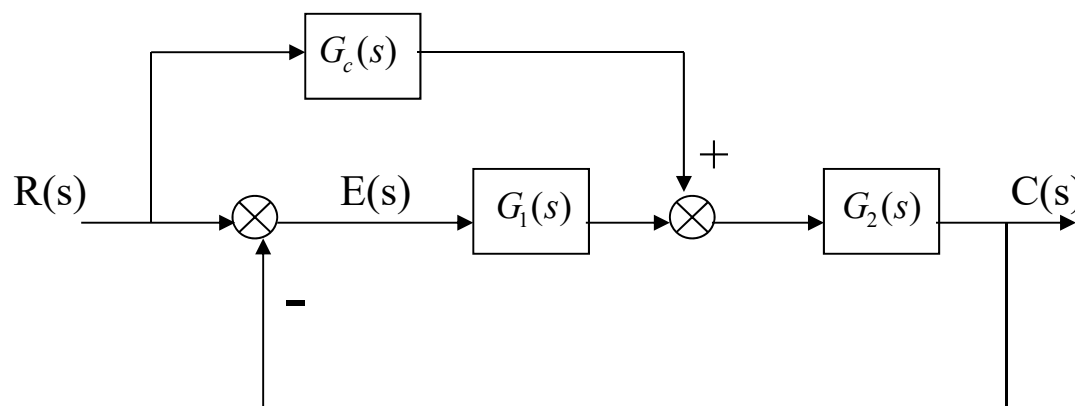


图3-27 按给定输入补偿的复合控制

在图3-28所示系统中，为了消除由 $n(t)$ 引起的稳态误差，可在原反馈控制的基础上，从扰动输入引出前馈量经补偿装置 $G_c(s)$ 加到系统中，若设 $r(t)=0$ ，则系统的输出 $C(s)$ 就是系统的误差信号。系统输出的拉氏变换式为

$$C(s) = G_2(s)[N(s) - G_1(s)G_c(s)N(s) - G_1(s)C(s)]$$

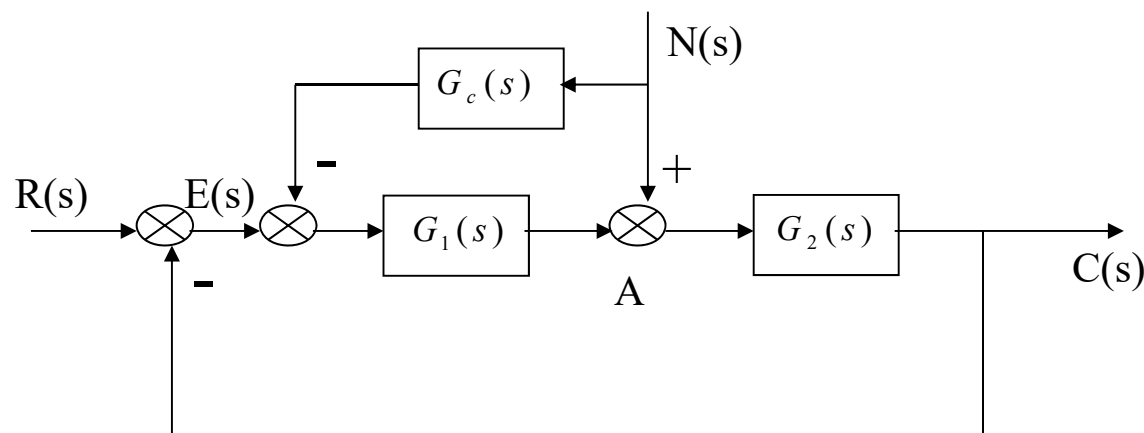
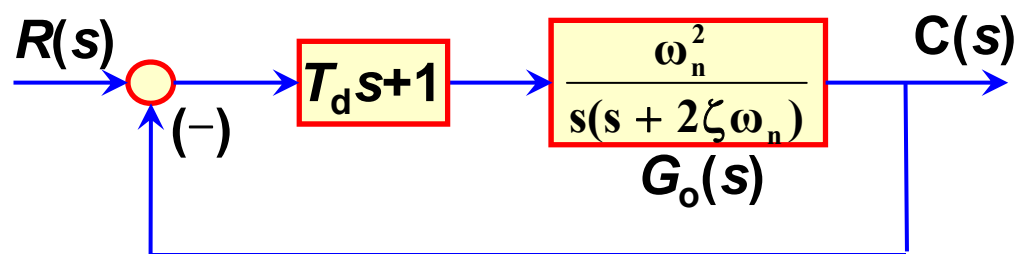


图3-28 按扰动输入补偿的复合控制

比例-微分环节对系统动态特性的影响



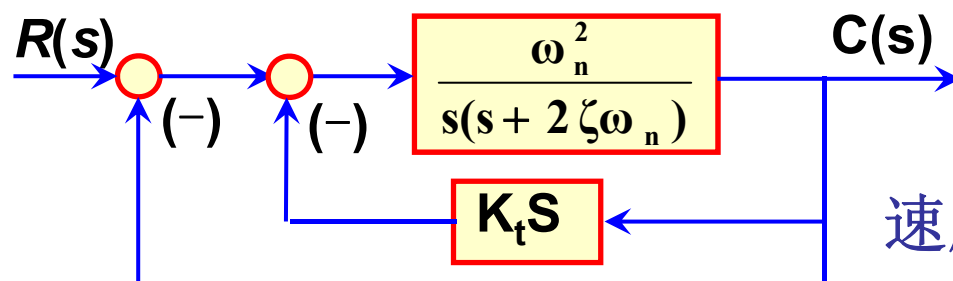
开环传递函数:

$$G(s) = \frac{C(s)}{E(s)} = \frac{\omega_n^2 (T_d s + 1)}{s(s + 2\zeta\omega_n)} = \frac{K(T_d s + 1)}{s(s / 2\zeta\omega_n + 1)}$$

闭环传递函数:

$$\Phi(s) = \frac{\omega_n^2}{a} \left(\frac{s + a}{s^2 + 2\zeta_d \omega_n s + \omega_n^2} \right), a = 1/T_d, \zeta_d = \zeta + \frac{\omega_n}{2a}$$

闭环系统具有零点,可以使上升时间提前.阻尼增大,超调减小。



速度反馈对系统动态特性的影响

开环传递函数为：

$$G(s) = \frac{C(s)}{E(s)} = \frac{\omega_n^2}{s(s + 2\zeta\omega_n + k_t\omega_n^2)} = \frac{\omega_n}{2\zeta + k_t\omega_n} \times \frac{1}{s[s/(2\zeta\omega_n + k_t\omega_n^2) + 1]}$$

闭环传递函数：

$$\frac{C(s)}{R(s)} = \frac{\omega_n^2}{s^2 + (2\zeta\omega_n + k_t\omega_n^2)s + \omega_n^2} = \frac{\omega_n^2}{s^2 + 2\zeta_t\omega_n s + \omega_n^2}$$

$$\zeta_t = \zeta + \frac{1}{2}k_t\omega_n$$

□由上可知：

- 1) 速度反馈使 ζ 增大，振荡和超调减小，改善了系统平稳性；
- 2) 速度负反馈控制的闭环传递函数无零点，其输出平稳性优于比例——微分控制；
- 3) 系统增益不变；

四、根轨迹与系统性能

32

稳定性 如果系统特征方程的根都位于S平面的左半部，系统是稳定的，否则是不稳定的。若根轨迹穿越虚轴进入右半S平面，根轨迹与虚轴交点处的K值，就是临界稳定的开环增益 K_c 。

稳态性能 开环系统在坐标原点有一个极点，所以属 I 型系统，因而根轨迹上的K值就是静态速度误差系数。如果给定系统的稳态误差要求，则可由根轨迹图确定闭极点位置的允许范围。

动态性能 当 $0 < K_r < 1$ 时，所有闭环极点均位于实轴上，系统为过阻尼系统，其单位阶跃响应为单调上升的非周期过程。当 $K_r = 1$ 时，特征方程的两个相等负实根，系统为临界阻尼系统，单位阶跃响应为响应速度最快的非周期过程。当 $K_r > 1$ 时，特征方程为一对共轭复根，系统为欠阻尼系统，单位阶跃响应为阻尼振荡过程，振荡幅度或超调量随 K_r 值的增加而加大，但调节时间不会有显著变化。

二、绘制根轨迹的基本规则

33

通常，我们把以开环根轨迹增益 K_r 为可变参数绘制的根轨迹叫做普通根轨迹（或一般根轨迹）。绘制普通根轨迹的基本规则主要有7条：

- 1、根轨迹的起点与终点；
- 2、根轨迹的分支数；
- 3、实轴上的根轨迹；
- 4、根轨迹的渐近线；
- 5、根轨迹在实轴上的分离点；
- 6、根轨迹的起始角和终止角；
- 7、根轨迹与虚轴的交点。

二、基于辅助函数 $F(s)$ 的奈氏判据

为了分析反馈控制系统的稳定性，只须判断是否存在S平面右半部的闭环极点。为此，在S平面上作一条完整的封闭曲线 Γ_s ，使它包围S平面右半部且按顺时针环绕。如图5—40所示，该曲线包括S平面的整个虚轴（由 $\omega = -\infty$ 到 $\omega = +\infty$ ）及右半平面上以原点为圆心，半径为无穷大的半圆弧组成的封闭轨迹。这一封闭无穷大半圆称作奈氏轨迹。显然，由奈氏轨迹包围的极点数P和零点个数Z，就是 $F(s)$ 位于S平面右半部的极点数和零点个数。

前面已经指出，辅助函数 $F(s)$ 的极点等于系统的开环极点， $F(s)$ 的零点等于系统的闭环极点。因此，如果奈氏轨迹中包围 $F(s)$ 的零点个数 $Z=0$ ，系统是稳定的，此时由 $F(s)$ 映射到 $F(s)$ 平面上的封闭曲线 Γ_F 逆时针绕坐标原点的周数应为

$$N=P \quad (5-114)$$

由此得到应用幅角定理分析系统稳定性的判据如下：

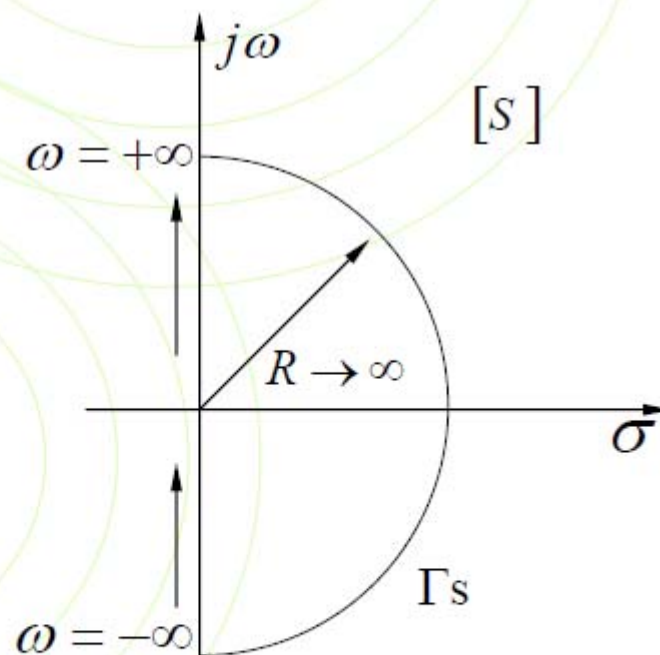


图5-40 Nyquist轨迹

若辅助函数 $F(s)$ 的解析点 s 沿奈氏轨迹 Γ_s 按顺时针连续环绕一周，它在 $F(s)$ 平面上的映射 Γ_F 按逆时针方向环绕其原点 P 周，则系统是稳定的，否则是不稳定的。

通常情况下，开环系统是稳定的，即 S 平面右半部的开环极点数 $P=0$ 。此时系统稳定的充分条件是不包围 $F(s)$ 平面坐标原点，即 $N=0$ 。

三、基于开环传递函数 $G(s)H(s)$ 的奈氏判据

用辅助函数 $\mathbf{L}(z) = \mathbf{I} + \mathbf{Q}(z)\mathbf{H}(z)$ 来分析系统的稳定性仍然不大方便，实际上，开环传递函数与辅助函数之间的关系非常简单，即

$$G(s)H(s) = F(s) - 1 \quad (5-115)$$

上式意味着将 $F(s)$ 平面的纵轴向右平移一个单位后构成的平面即为 GH 平面（如图5-41）。 $F(s)$ 平面的坐标原点是 GH 平面的 $(-1, j0)$ 点。因此， Γ_F 绕 $F(s)$ 平面原点的周数等效于 Γ_{GH} 绕 GH 平面 $(-1, j0)$ 点的周数。

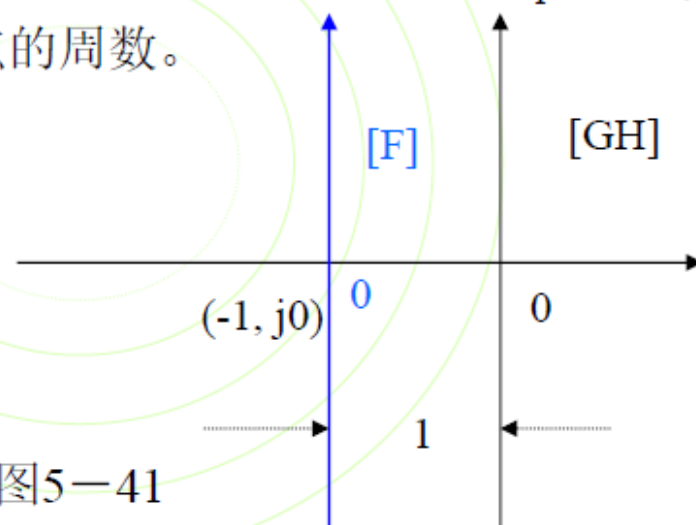


图5-41

由分析，得到基于开环传递函数 $G(s)H(s)$ 的奈氏判据如下：

闭环系统稳定的充分必要条件是奈氏轨迹映射在GH平面上的封闭曲线 Γ_{GH} 逆时针包围 $(-1, j0)$ 点 P 周，其中 P 为开环传递函数 $G(s)H(s)$ 在 S 平面右半部的极点数。

当 $G(s)H(s)$ 在 S 平面右半部没有极点时，即 $P=0$ ，闭环系统稳定的充分必要条件是 Γ_{GH} 在GH平面上不包围 $(-1, j0)$ 点。

四、基于开环频率特性 $G(j\omega)H(j\omega)$ 的奈氏判据

(一) $G(s)H(s)$ 与 $G(j\omega)H(j\omega)$ 之间的关系

前面曾经指出，频率特性是 $s = j\omega$ 特定情况下的传递函数。下面分两种情况来研究 $G(s)H(s)$ 与 $G(j\omega)H(j\omega)$ 之间的关系。

1、当 $G(s)H(s)$ 在 S 平面虚轴上（包括原点）无极点时，奈氏轨迹可分成三个部分如图5—42所示，（1） $-\infty < \omega \leq 0$ ， s 沿负虚轴变化；（2） $0 \leq \omega < +\infty$ ， s 沿正虚轴变化；（3） $s = \lim_{R \rightarrow \infty} R e^{-j\phi}$ ， s 沿以原点为圆心，半径为无穷大的右半圆弧变化，其中 $\phi = \pi$ ，对应 ω 由 $+\infty \rightarrow -\infty$ 顺时针绕。

(1) 当 s 在 S 平面负虚轴上变化时， $s = -j\omega$ ，

$$\begin{aligned} |G(s)H(s)|_{s=-j\omega} &= G(-j\omega)H(-j\omega) \\ &= |G(j\omega)H(j\omega)| e^{-j\angle G(j\omega)H(j\omega)} \end{aligned} \quad (5-117)$$

在 $[GH]$ 平面上的映射如图5—43中曲线（1）。

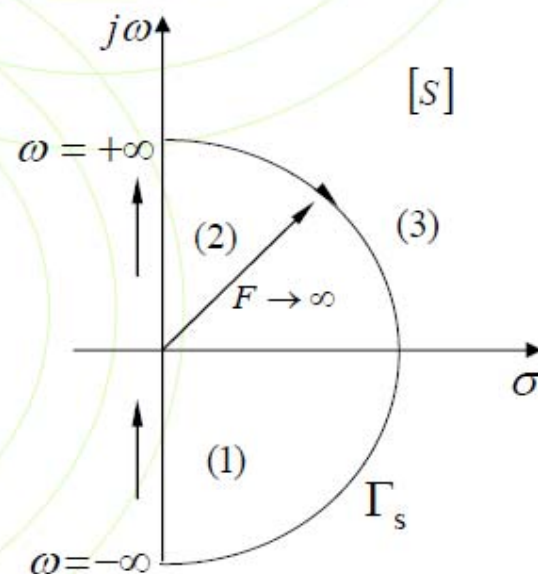


图5-42 Nyquist轨迹

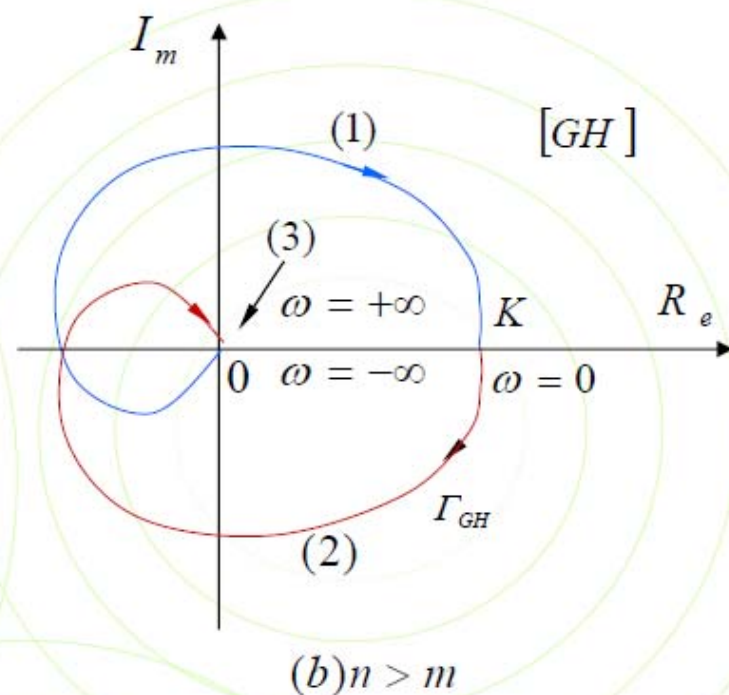
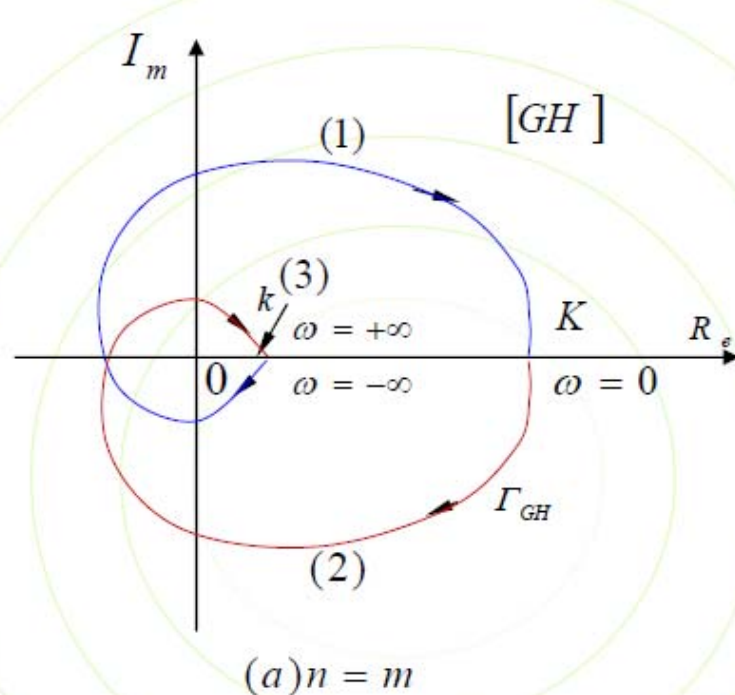


图5-43 Γ_s 在GH平面上的映射

(2) 当 s 在 S 平面正虚轴上变化时, $s = j\omega$

$$\begin{aligned} |G(s)H(s)|_{s=j\omega} &= G(j\omega)H(j\omega) \\ &= |G(j\omega)H(j\omega)|e^{j\angle G(j\omega)H(j\omega)} \end{aligned}$$

如图5-43中的曲线(2), 这正是系统的开环频率特性。由于正负虚轴在 S 平面上以实轴为对称, 它们在 GH 平面上的映射曲线(1)、(2)两部分也对称于实轴。

当 Γ_s 过平面原点时, $s = j0$, 它在GH平面上的映射为

$$|G(s)H(s)|_{s=j0} = G(j0)H(j0) = K \quad (5-118)$$

即S平面的原点在GH平面上的映射为常数K (K为系统开环放大系数)。

(3) 当s在 Γ_s 的第三部分上的变化时, $s = \lim_{R \rightarrow \infty} R e^{-j\phi}$,

$$\begin{aligned} G(s)H(s) \Big|_{s = \lim_{R \rightarrow \infty} R e^{-j\phi}} &= \frac{b_m s^m + b_{m-1} s^{m-1} + \dots + b_1 s + b_0}{a_n s^n + a_{n-1} s^{n-1} + \dots + a_1 s + a_0} \Big|_{s = \lim_{R \rightarrow \infty} R e^{-j\phi}} \\ &= \left(\lim_{R \rightarrow \infty} \frac{b_m}{a_n} \cdot \frac{1}{R^{n-m}} \right) e^{j(n-m)\phi} \end{aligned} \quad (5-119)$$

当 $n=m$ 时,

$$G(s)H(s) \Big|_{s = \lim_{R \rightarrow \infty} R e^{-j\phi}} = \frac{b_m}{a_n} = k \quad (5-120)$$

奈氏轨迹的第三部分 (无穷大半圆弧) 在GH平面上的映射为常数K, 如图5—43 (a) 所示。

$$\text{当 } n > m \text{ 时, } G(s)H(s) \Big|_{s = \lim_{R \rightarrow \infty} R e^{-j\phi}} = 0 \cdot e^{j(n-m)\phi} \quad (5-121)$$

Γ_s 的第三部分在GH平面上的映射是它的坐标原点 (图5—43 (b))。

奈氏轨迹 Γ_s 在GH平面上的映射称为奈奎斯特曲线或奈氏曲线。

2、当 $G(s)H(s)$ 在S平面的虚轴上（包括原点）有极点时，由于奈氏轨迹不能经过开环极点， Γ_s 必须避开虚轴上的所有开环极点。增加第4部分曲线，如图5-44所示。其中（1）（2）和（3）部分的定义与图5—42相同。

第（4）部分的定义是： $s = \lim_{r \rightarrow 0} re^{j\theta} \quad (-\frac{\pi}{2} \leq \theta \leq \frac{\pi}{2})$

表明s沿以原点为圆心，半径为无穷小的右半圆弧上逆时针变化（ ω 由 $o_- \rightarrow o_+$ ）。这样， Γ_s 既绕过了 $G(s)H(s)$ 原点上的极点，又包围了整个右半S平面，如果在虚轴上还有其它极点，亦可采用同样的方法，将 Γ_s 绕过这些虚轴上的极点。

设系统的开环传递函数为

$$G(s)H(s) = \frac{k(s - z_1)(s - z_2) \dots (s - z_m)}{s^v (s - p_1)(s - p_2) \dots (s - p_{n-v})} \quad (5-122)$$

其中v称为无差度，即系统中含积分环节的个数或位于原点的开环点数。当 $s = \lim_{r \rightarrow 0} re^{j\theta}$ 时，

$$\begin{aligned} G(s)H(s) \Big|_{s = \lim_{r \rightarrow 0} re^{j\theta}} &= \frac{k(s - z_1)(s - z_2) \dots (s - z_m)}{s^v (s - p_1)(s - p_2) \dots (s - p_n)} \Big|_{\lim_{r \rightarrow 0} re^{j\theta}} \\ &= \lim_{r \rightarrow 0} \frac{K}{r^v} e^{-jv\theta} = \infty e^{-jv\theta} \end{aligned} \quad (5-123)$$

式(5-123)表明, Γ_s 的第(4)部分无穷小半圆弧在 GH 平面上的映射为顺时针旋转的无穷大圆弧, 旋转的弧度为 $\nu\pi$ 弧度。图5—45 (a)、(b) 分别表示当 $\nu=1$ 和 $\nu=2$ 时系统的奈氏曲线, 其中虚线部分是 Γ_s 的无穷小半圆弧在 GH 平面上的映射。

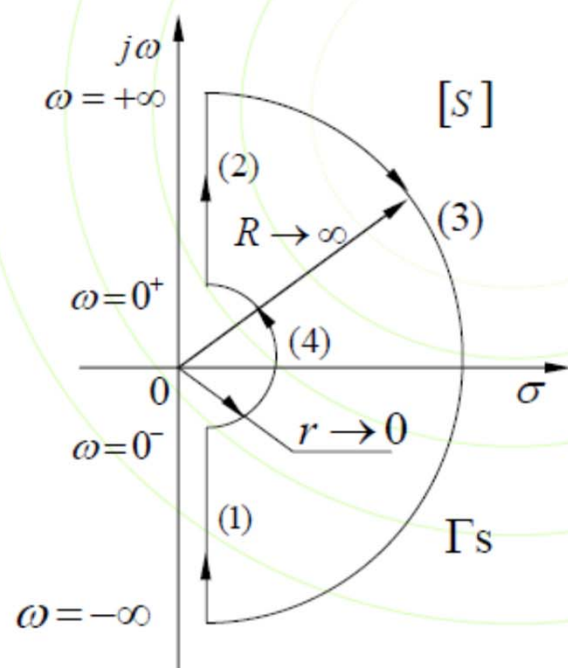


图5-44 虚轴上有开环极点时的奈氏轨迹

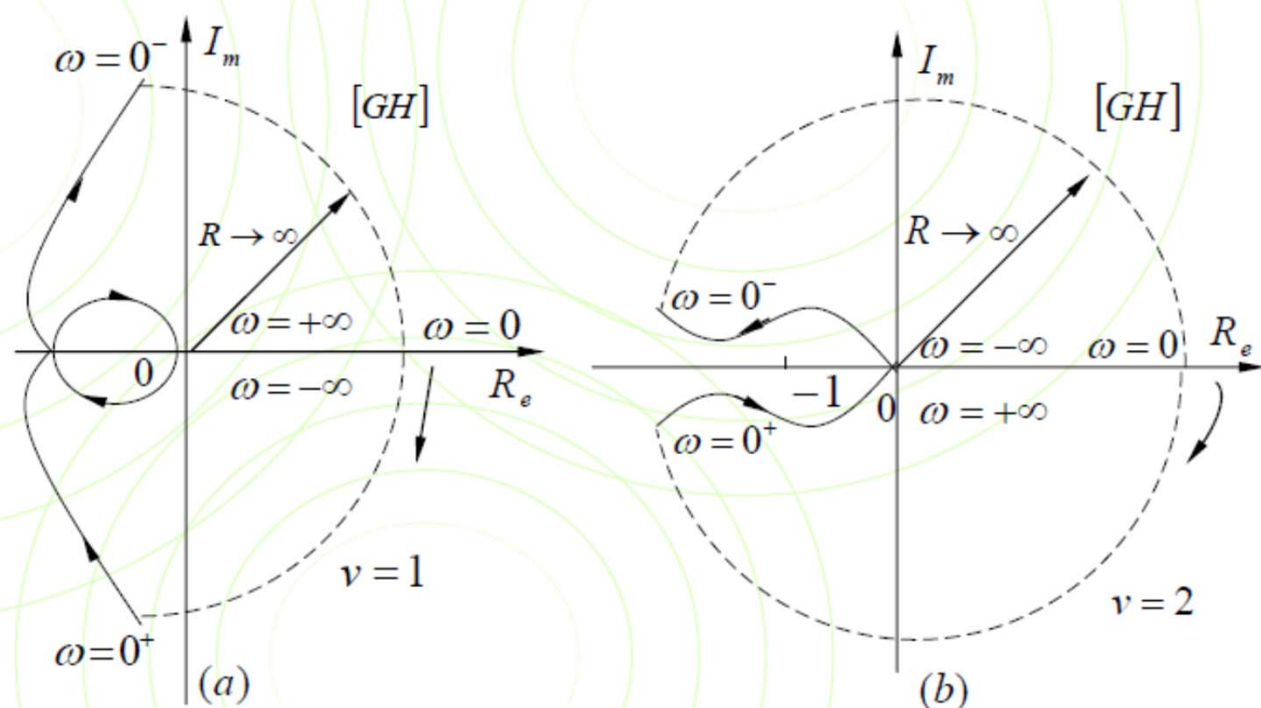


图5-45 $\nu \neq 0$ 时的奈氏曲线

二、稳定裕度

通常用稳定裕度来衡量系统的相对稳定性或系统的稳定程度，其中包括系统的相角裕度和幅值裕度。

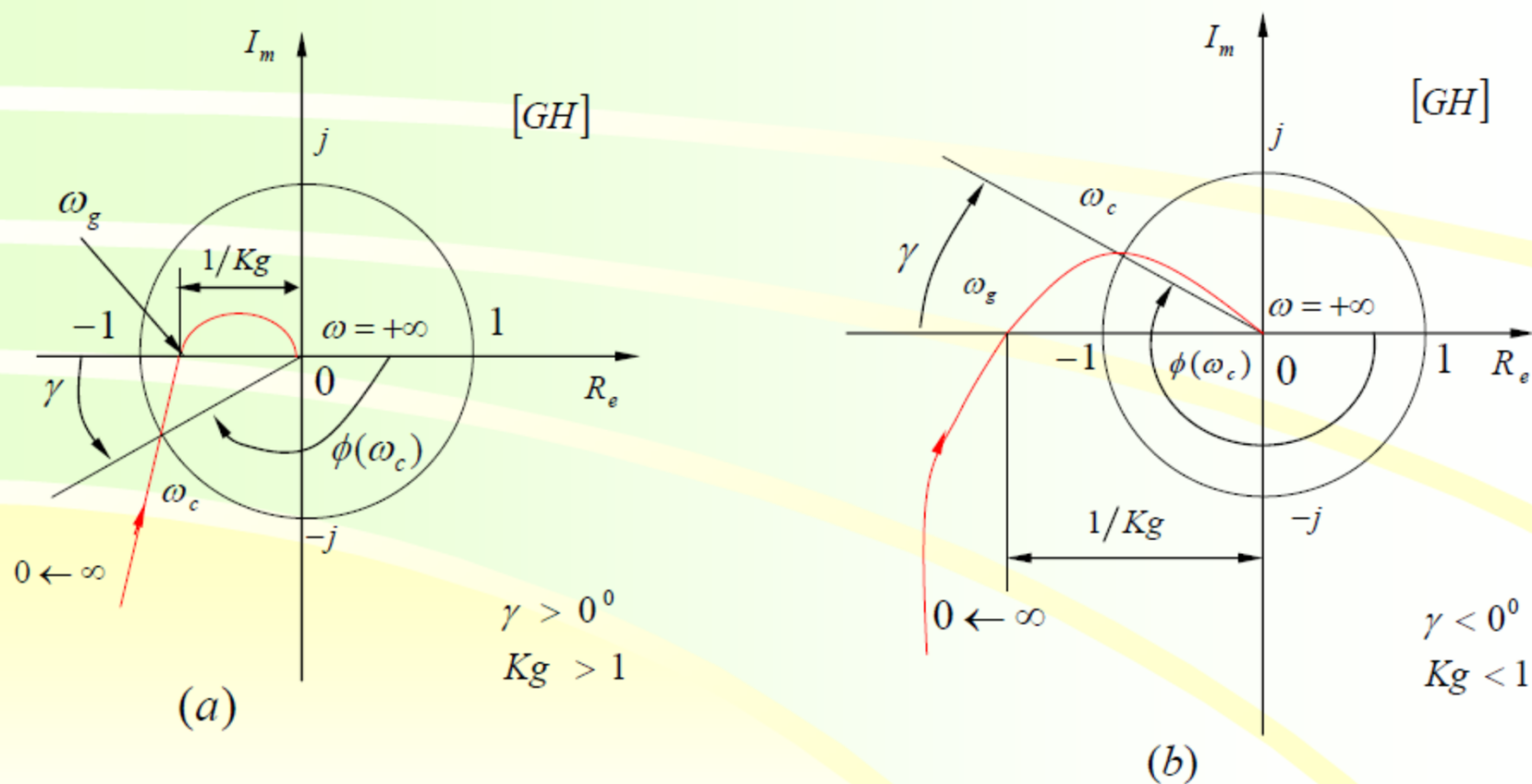


图5-53 最小相位系统的稳定裕度

2、控制目标 – 性能指标

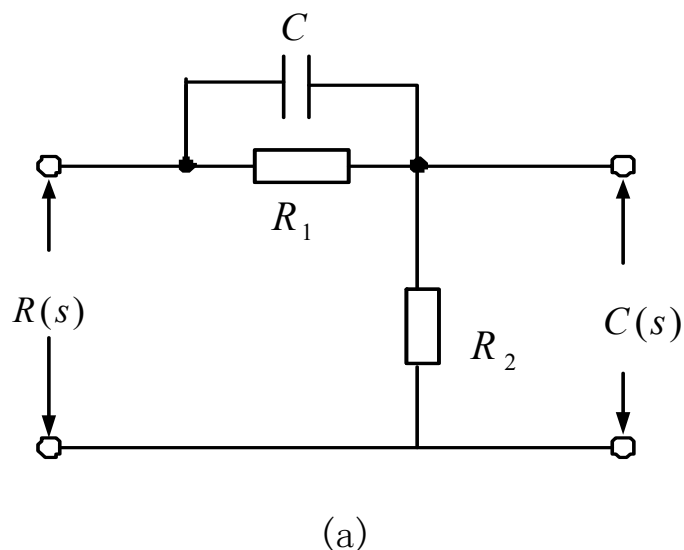
时域指标	
超调量 $\sigma\%$	调节时间 t_s
二阶系统指标计算	
$\sigma\% = e^{-\pi\xi/\sqrt{1-\xi^2}} \times 100\%$	
$t_s = 3.5/\xi\omega_n \quad \omega_c t_s = 7/\text{tg}\gamma$	

频域指标	
谐振峰值 M_r	谐振频率 ω_r 带宽频率 ω_b
截止频率 ω_c	相位裕度 γ 幅值裕度 h
二阶系统指标计算	
$M_r = 1/2\xi\sqrt{1-\xi^2} \quad \omega_r = \omega_n\sqrt{1-2\xi^2} \quad \xi \leq \sqrt{2}$	
$\omega_b = \omega_n\sqrt{(1-2\xi^2) + \sqrt{(1-2\xi^2)^2 + 1}}$	
$\omega_c = \omega_n\sqrt{\sqrt{4\xi^4 + 1} - 2\xi^2}$	
$\gamma = \tan^{-1}(2\xi/\sqrt{\sqrt{4\xi^4 + 1} - 2\xi^2})$	

性能指标是系统设计的基础，综合考虑动态、稳态和稳定性特性。

一、无源校正装置

1. 相位超前校正装置：具有相位超前特性（即相频特性 $\varphi > 0$ ）的校正装置叫相位超前校正装置（又称为“微分校正装置”）。



传递函数为： $G_c(s) = \frac{C(s)}{R(s)} = \frac{Z_2}{Z_1 + Z_2}$

$$\frac{1}{Z_1} = \frac{1}{1/(Cs)} + \frac{1}{R_1}$$



$$Z_1 = \frac{R_1 \cdot 1/(Cs)}{R_1 + 1/(Cs)} = \frac{R_1}{R_1 Cs + 1} \quad Z_2 = R_2$$

$$G_c(s) = \alpha \left(\frac{\tau s + 1}{\alpha \tau s + 1} \right)$$

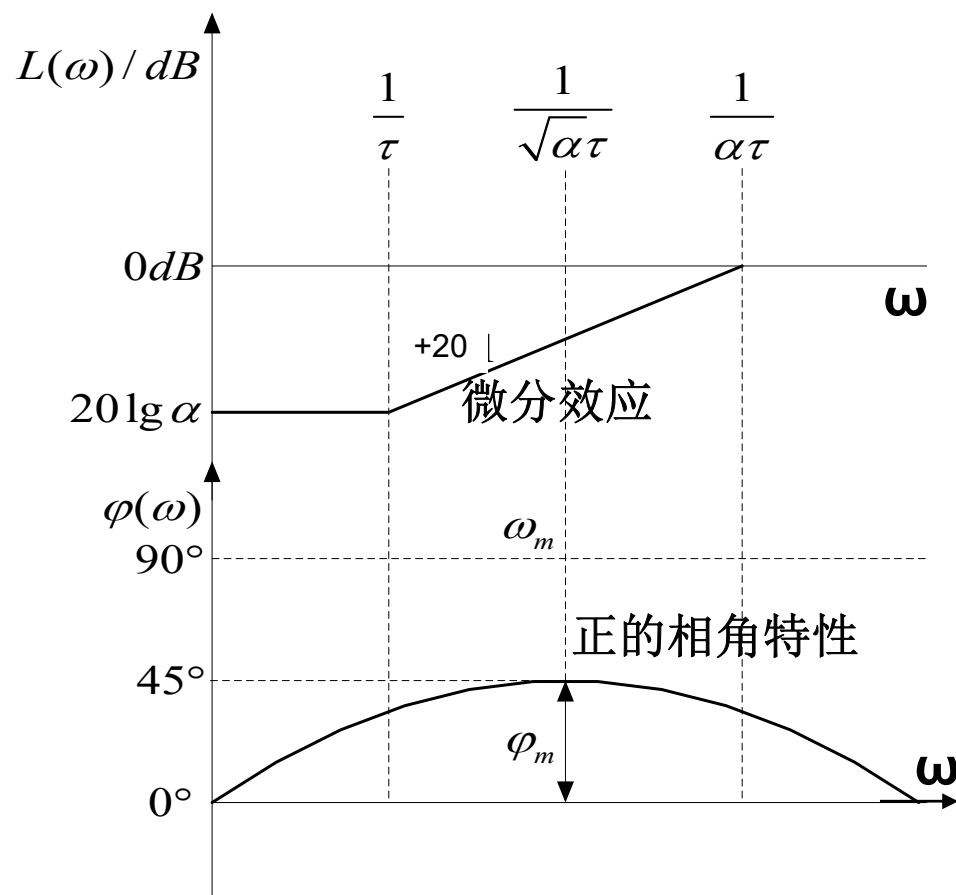
$$\tau = R_1 C$$

$$\alpha = \frac{R_2}{R_1 + R_2} < 1$$

α 为低频衰减率

频率特性: $G_c(j\omega) = \alpha \left(\frac{j\omega\tau + 1}{j\omega\alpha\tau + 1} \right)$ $\varphi_c = \arctg(\tau\omega) - \arctg(\alpha\tau\omega)$

超前校正网络的特点:



1. 具有正的相角特性, 最大的超前相角 φ_m 发生 ω_m 处

$$\frac{d\varphi_c}{d\omega} = 0 \rightarrow \omega_m = \frac{1}{\tau\sqrt{\alpha}}$$

$$\varphi_m = \arcsin \frac{1 - \alpha}{1 + \alpha}$$

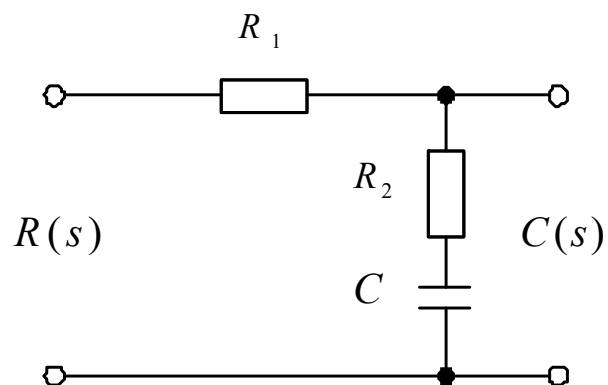
2. 利用相角超前特性来增大系统的相角裕度 γ , 以达到改善系统瞬态响应的目的。

要求校正装置的 φ_m 出现在系统的剪切频率 ω_c 处。

3. 具有高通滤波特性, 而使系统低频响应的增益衰减

2. 相位滞后校正装置

具有相位滞后特性(即相频特性 $\varphi(\omega) < 0$)的校正装置叫滞后校正装置(又称之为积分校正装置)。



$$G_c(s) = \frac{C(s)}{R(s)} = \frac{Z_2}{Z_1 + Z_2}$$

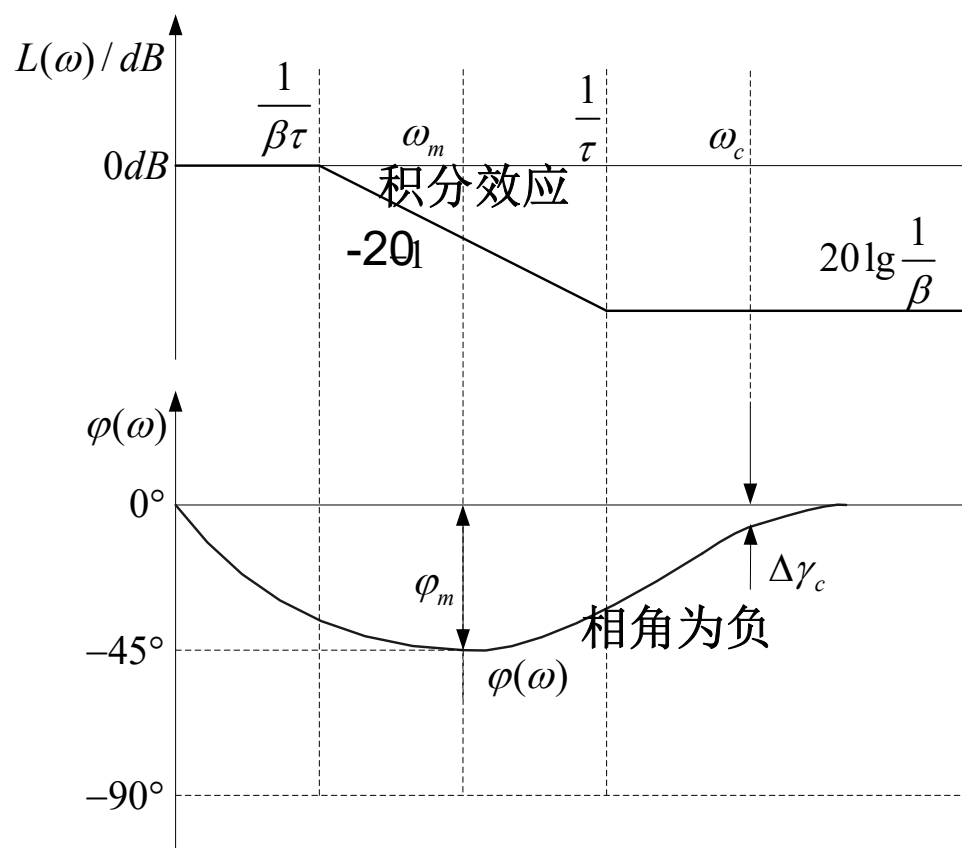
$$Z_1 = R_1 \quad Z_2 = R_2 + \frac{1}{Cs}$$

$$G_c(s) = \frac{\tau s + 1}{\beta \tau s + 1}$$

式中: $\tau = R_2 C$ $\beta = \frac{R_1 + R_2}{R_2} > 1$ β 滞后程度系数

频率特性: $G_c(j\omega) = \frac{j\omega\tau + 1}{j\omega\beta\tau + 1}$

$$\varphi_c = \arctg(\tau\omega) - \arctg(\beta\tau\omega)$$



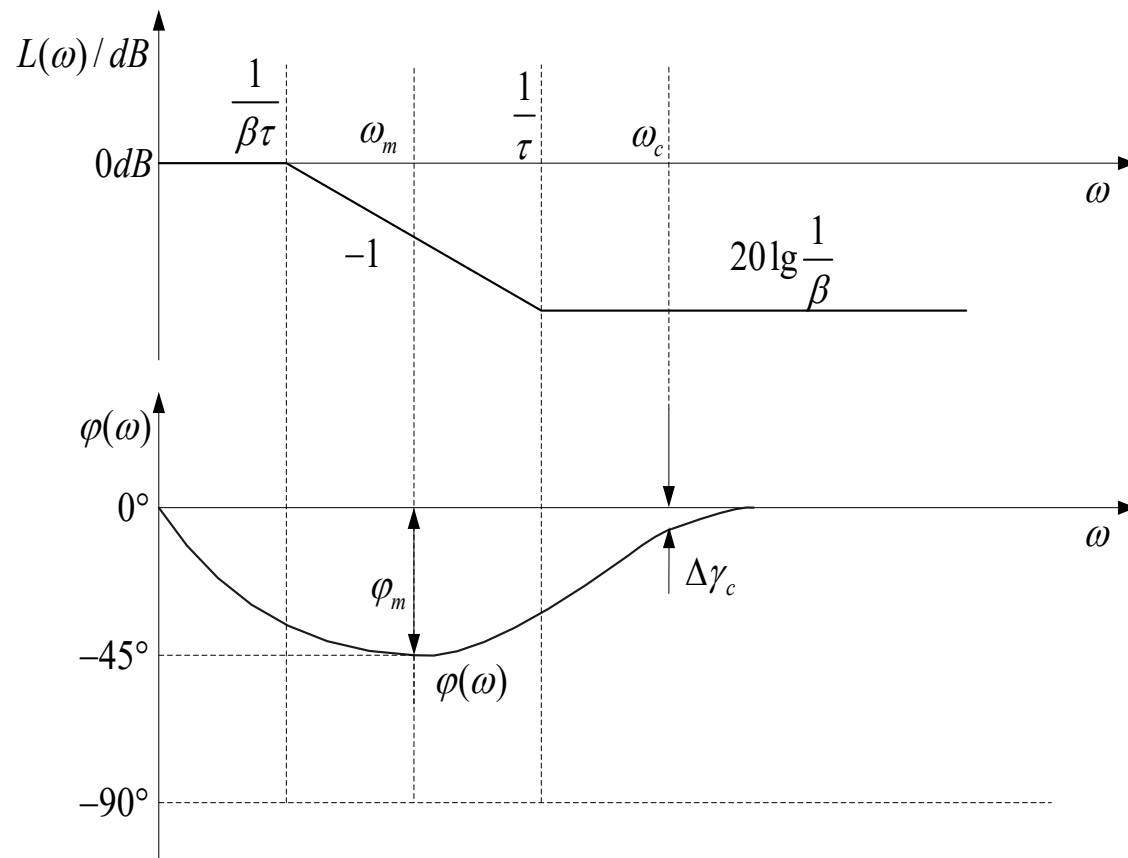
相位滞后校正特点:

1. 具有低通滤波特性, 使系统高频响应的增益衰减,

☆低通滤波器对低频信号具有较强的放大能力, 从而可以降低系统的稳态误差;

☆ β 值越大, 高频段衰减的能力越强, 抑制噪声的能力愈强; 通常选 $\beta=10$, β 太大, 不容易实现

2. 最大相位滞后角 φ_m 发生在 ω_m 处



$$\varphi_c = \arctg(\tau\omega) - \arctg(\beta\tau\omega)$$

$$\frac{d\varphi_c}{d\omega} = 0 \rightarrow \omega_m = \frac{1}{\sqrt{\beta}\tau}$$

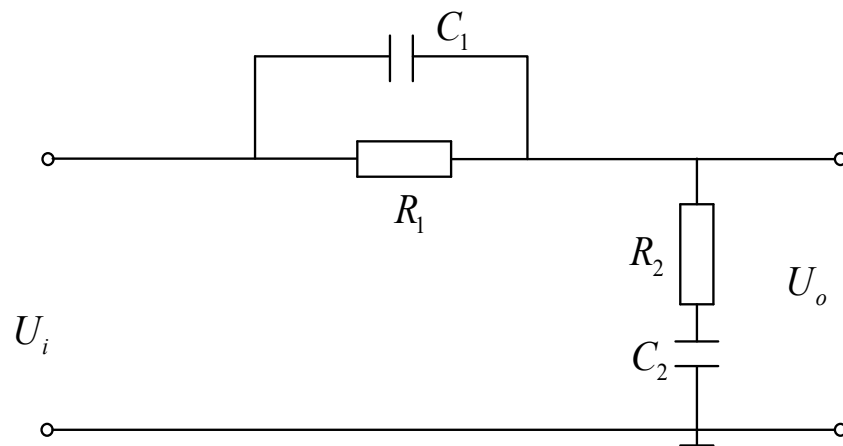
$$\varphi_m = -\tan^{-1} \frac{\beta - 1}{2\sqrt{\beta}}$$

如果 $\gamma_0 < \text{希望的}\gamma$ ， $\omega_{c0} > \text{希望的}\omega_c$ ，可以采用滞后校正。

☆降低系统的剪切频率，来增大系统的相角裕度，提高系统的相对稳定性和平稳性，瞬态响应的速度要变慢；

注意：在应用时， $\omega_m \ll \omega_c$

3. 相位滞后-超前校正装置 (微分 - 积分校正)



$$G_c(s) = \frac{U_o(s)}{U_i(s)} = \frac{Z_2}{Z_1 + Z_2}$$

$$Z_1 = \frac{R_1}{1 + R_1 C_1 s} \quad Z_2 = R_2 + \frac{1}{C_2 s}$$

$$\begin{aligned} G_c(s) &= \frac{Z_2}{Z_1 + Z_2} = \frac{(1 + R_1 C_1 s)(1 + R_2 C_2 s)}{(1 + R_1 C_1 s)(1 + R_2 C_2 s) + R_1 C_2 s} \\ &= \frac{(\tau_1 s + 1)(\tau_2 s + 1)}{\tau_1 \tau_2 s^2 + (\tau_1 + \tau_2 + \tau_{12})s + 1} \end{aligned}$$

$$\tau_1 = R_1 C_1 \quad \tau_2 = R_2 C_2 \quad \tau_{12} = R_1 C_2$$

$$G_c(s) = \frac{(\tau_1 s + 1)(\tau_2 s + 1)}{\tau_1 \tau_2 s^2 + (\tau_1 + \tau_2 + \tau_{12})s + 1}$$

滞后-超前网络的传递函数变为

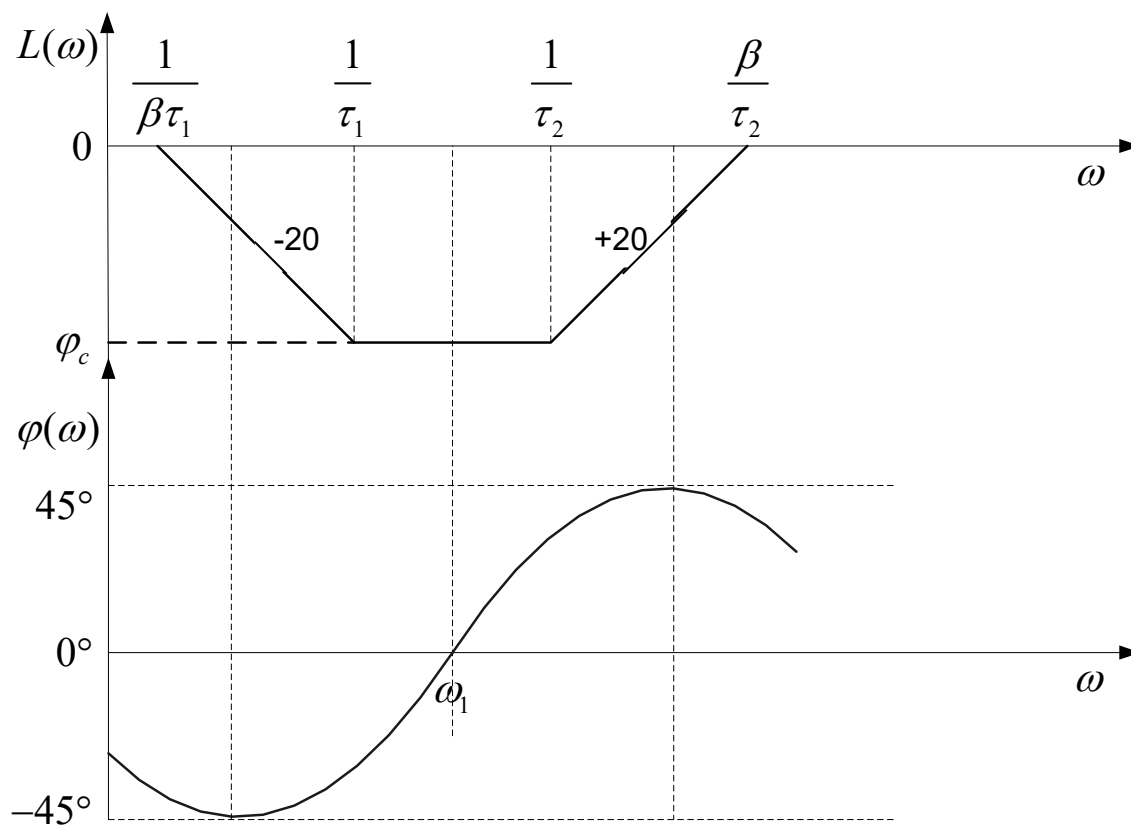
$$G_c(s) = \frac{(\tau_1 s + 1)(\tau_2 s + 1)}{(T_1 s + 1)(T_2 s + 1)} = \frac{(\tau_1 s + 1)(\tau_2 s + 1)}{(\beta \tau_1 s + 1)(\frac{\tau_2}{\beta} s + 1)}$$

$$\text{其中 } T_1 T_2 = \tau_1 \tau_2 \quad \frac{T_1}{\tau_1} = \frac{\tau_2}{T_2} = \beta$$

$$T_1 > \tau_1 > \tau_2 > T_2 \quad \beta > 1$$

$$G_c(s) = \frac{(\tau_1 s + 1)(\tau_2 s + 1)}{(\beta \tau_1 s + 1)(\frac{\tau_2}{\beta} s + 1)}$$

$T_1 > \tau_1 > \tau_2 > T_2$ $\beta > 1$, 滞后-超前网络的波德图如图所示。



利用滞后部分来改善系统的稳态性能;

利用超前部分来改善系统的暂态性能。

性能指标

- a) 时域指标：超调量 M_p 、调整时间 t_s 、峰值时间 t_p 、上升时间 t_r 等
- b) 频域指标：
 - ① 开环：剪切频率 ω_c 、相角裕度 γ 及增益裕度GM
 - ② 闭环：谐振峰值 M_r 、谐振频率 ω_r 及带宽 ω_b

波特图法校正系统采用开环频域性能作为性能指标：

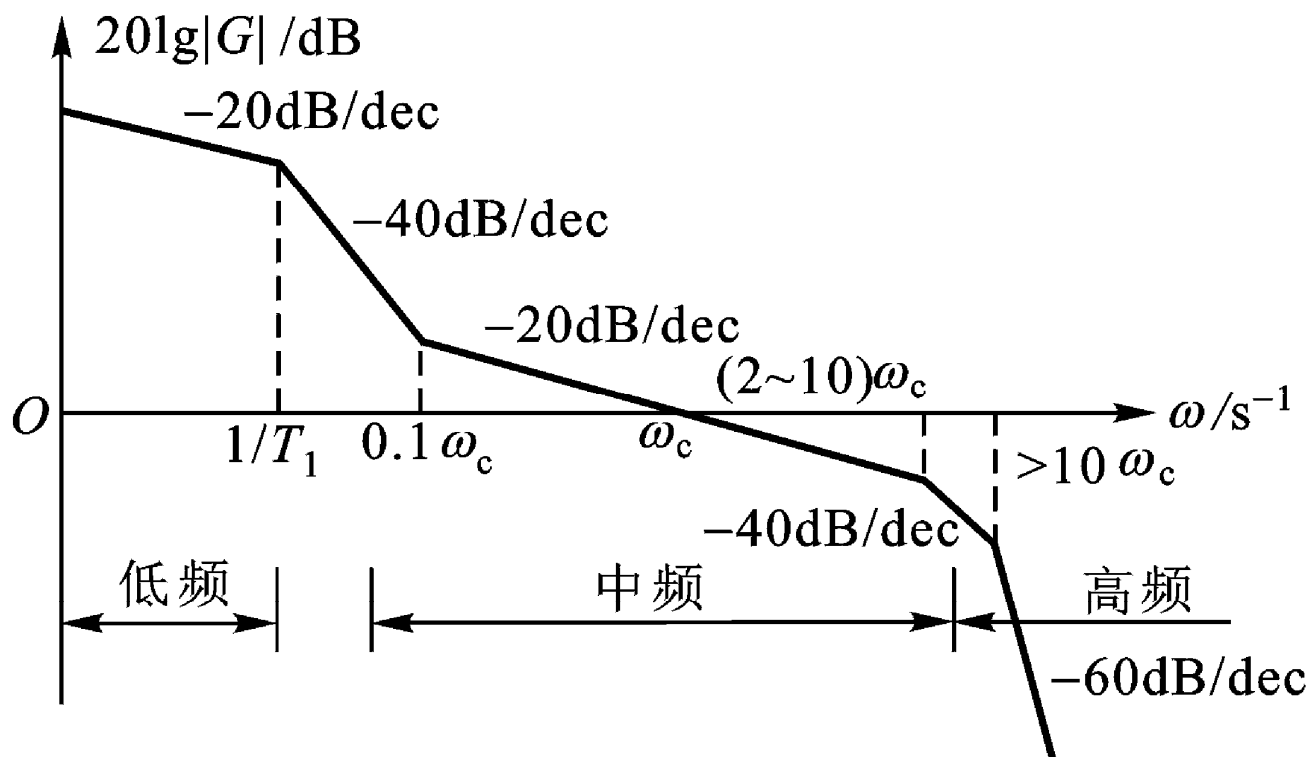
相角裕量 γ \rightarrow 系统的相对稳定性和平稳性

剪切频率 ω_c \rightarrow 系统的响应速度

开环增益 K \rightarrow 系统的稳态误差

期望特性

根据期望特性设计校正装置时，通常将其分为三个频段考虑

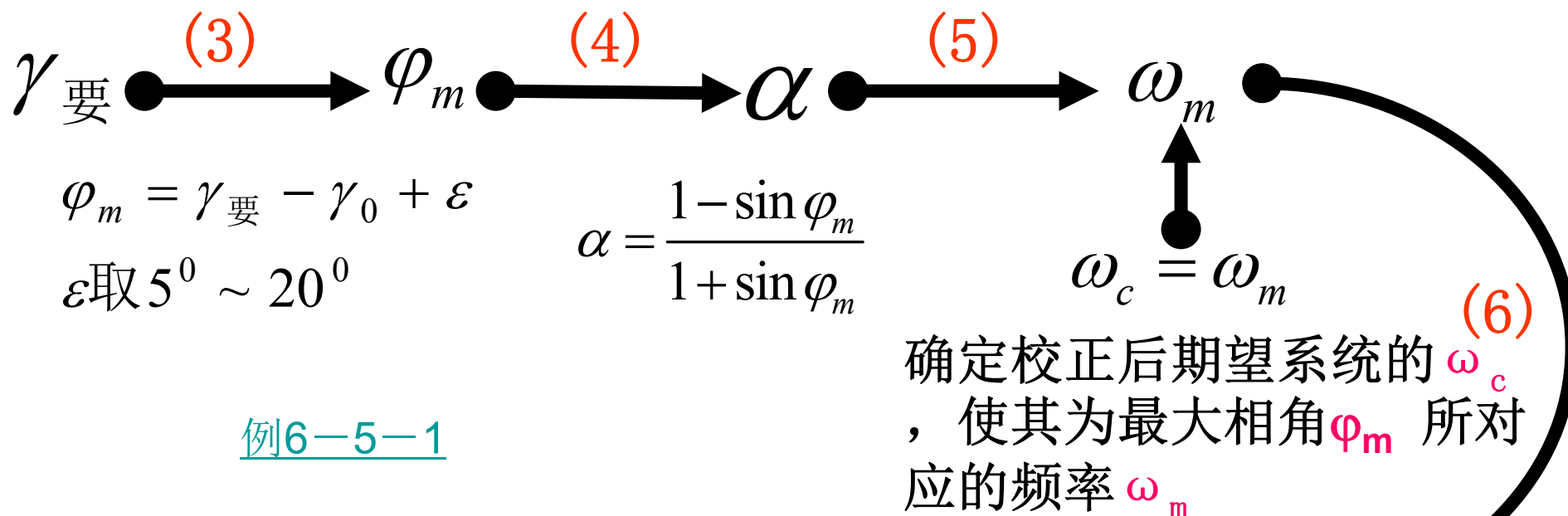


§6-5 频率法串联校正的设计

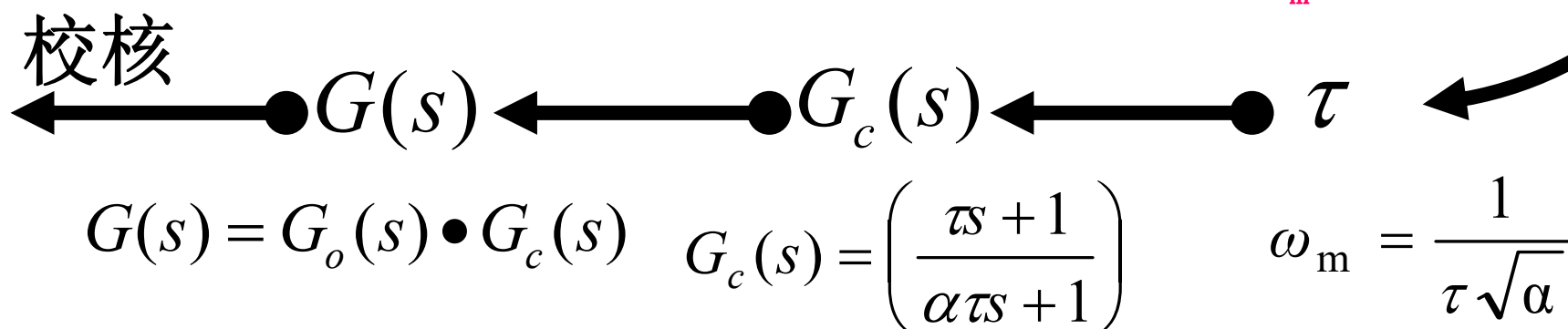
54

(3)–(6) 步骤:

$$\begin{aligned} 20\lg |G_0(j\omega_c)| &= -20\lg |G_c(j\omega_c)| \\ &= -10\lg(1/\alpha) \end{aligned}$$



例6-5-1



§6-5 频率法串联校正的设计

55

$$G(s) = G_o(s) \bullet G_c(s)$$

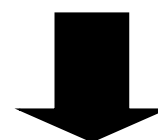
$$\omega_c = \omega_m$$

$$G_c(s) = \frac{1}{\alpha} \cdot \alpha \frac{\tau s + 1}{\alpha \tau s + 1}$$

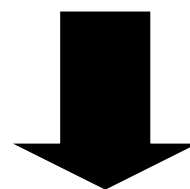
$$= \frac{\tau s + 1}{\alpha \tau s + 1}$$

$$20\lg |G(j\omega_c)| = 20\lg [|G_o(j\omega_c) \cdot G_c(j\omega_c)|] = 0$$

$$20\lg |G_o(j\omega_c)| + 20\lg |G_c(j\omega_c)| = 0$$

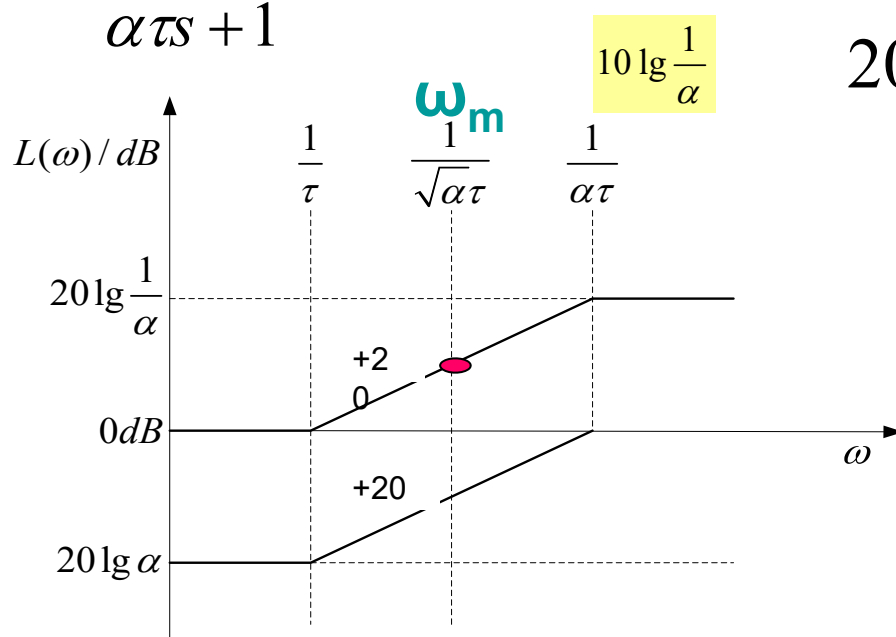


$$20\lg |G_o(j\omega_c)| = -20\lg |G_c(j\omega_c)|$$



$$20\lg |G_o(j\omega_m)| = -20\lg |G_c(j\omega_m)|$$

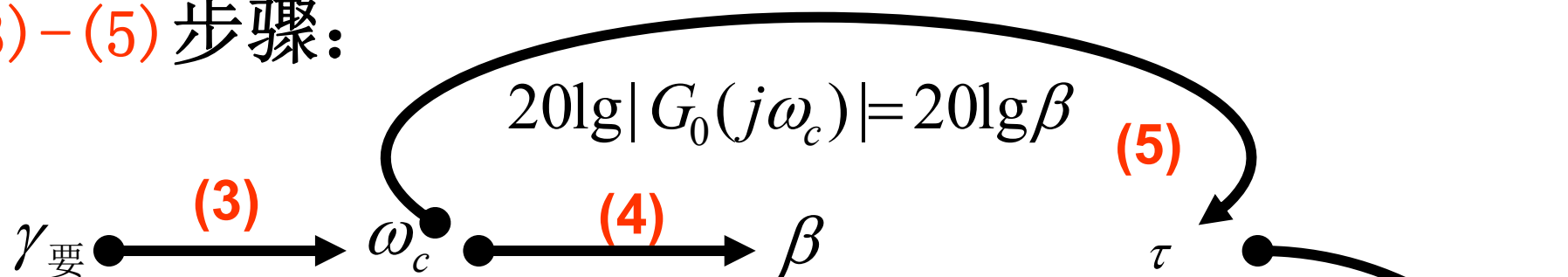
$$= -10\lg(1/\alpha)$$



§6-5 频率法串联校正的设计

56

(3)–(5) 步骤:



$$\gamma = \gamma_{\text{要}} + \varepsilon$$

ε 一般取 $10^0 \sim 15^0$ 根据 $\gamma_{\text{要}}$
 , 确定原系统 \mathbf{G}_0 γ 处的频率为
 校正后系统 \mathbf{G} 的剪切频率 ω_c

$$\omega_2 = \frac{1}{\tau} = \left(\frac{1}{2} \sim \frac{1}{10} \right) \omega_c$$

$$\omega_1 = \frac{1}{\beta \tau} = \frac{1}{\beta} \omega_2$$

校核 $\leftarrow \bullet G(s) \leftarrow \bullet G_c(s) \leftarrow$

$$G(s) = G_o(s) \bullet G_c(s)$$

$$G_c(s) = \frac{\tau s + 1}{\beta \tau s + 1} \quad \beta > 1$$

§6-5 频率法串联校正的设计

57

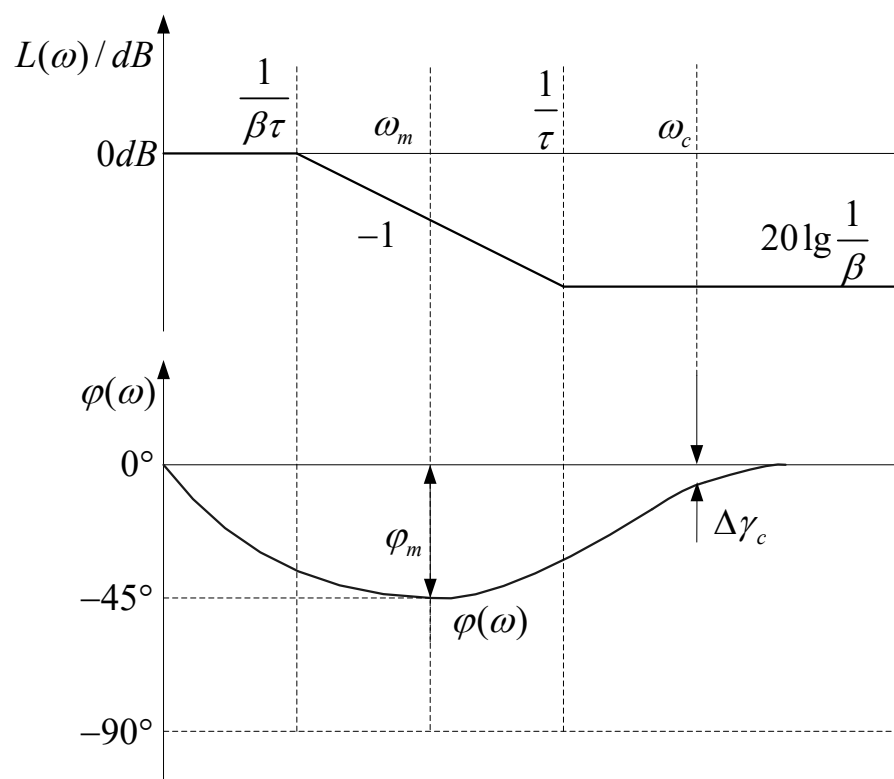
$$G_c(s) = \frac{\tau s + 1}{\beta \tau s + 1}$$

$$G(s) = G_o(s) \bullet G_c(s)$$

在应用时, $\omega_m \ll \omega_c$

$$20\lg|G(j\omega_c)| = 20\lg[|G_o(j\omega_c) \cdot G_c(j\omega_c)|] = 0$$

$$20\lg|G_o(j\omega_c)| + 20\lg|G_c(j\omega_c)| = 0$$



$$\begin{aligned} 20\lg|G_o(j\omega_c)| &= -20\lg|G_c(j\omega_c)| \\ &= -20\lg(1/\beta) = 20\lg\beta \end{aligned}$$

利用迟后校正装置的高频
衰减特性